

DD 106 N

Elektrische Eigenschaften**Electrical properties****Höchstzulässige Werte****Maximum rated values**

Periodische Spitzensperrspannung	repetitive peak reverse voltage	$t_{vj} = -40^{\circ}\text{C} \dots t_{vj\ max}$	V_{RRM}	600, 800 1200, 1400 1600, 1800 2000, 2200	V
Stoßspitzenspannung	non repetitive peak reverse voltage	$t_{vj} = +25^{\circ}\text{C} \dots t_{vj\ max}$	$V_{RSM} = V_{RRM}$	+ 100	V
Durchlaßstrom-Grenzeffektivwert	RMS forward current		I_{FRMSM}	180	A
Dauergrenzstrom	average forward current	$t_C = 100^{\circ}\text{C}$ $t_C = 93^{\circ}\text{C}$	I_{FAVM}	106 115	A
Stoßstrom-Grenzwert	surge current	$t_{vj} \leq 25^{\circ}\text{C}, t_p = 10\text{ ms}$ $t_{vj} = t_{vj\ max}, t_p = 10\text{ ms}$	I_{FSM}	3000 2600	A
Grenzlastintegral	$\int i^2 dt$ -value	$t_{vj} \leq 25^{\circ}\text{C}, t_p = 10\text{ ms}$ $t_{vj} = t_{vj\ max}, t_p = 10\text{ ms}$	$\int i^2 dt$	45000 33800	A^2s A^2s

Charakteristische Werte**Characteristic values**

Durchlaßspannung	forward voltage	$t_{vj} = t_{vj\ max}, I_F = 300\text{ A}$	V_F	max.	1,35 V
Schleusenspannung	threshold voltage		$V_{(TO)}$		0,7 V
Ersatzwiderstand	slope resistance		r_T		2 mΩ
Sperrstrom	reverse current	$t_{vj} = t_{vj\ max}, V_R = V_{RRM}$	i_R	max.	20 mA
Isolations-Prüfspannung	insulation test voltage	RMS, f = 50 Hz, t = 1 min	V_{ISOL}		3 kV

Thermische Eigenschaften**Thermal properties**

Innerer Wärmewiderstand	thermal resistance, junction to case	$\Theta = 180^{\circ}\text{el, sinus: pro Modul/per module}$ DC: $\text{pro Modul/per module}$ pro Zweig/per arm pro Zweig/per arm	R_{thJC}	max. max. max. max.	0,195°C/W 0,39 °C/W 0,185°C/W 0,37 °C/W
Übergangs-Wärmewiderstand	thermal resistance, case to heatsink	$\text{pro Modul/per module}$ pro Zweig/per arm	R_{thCK}	max. max.	0,04 °C/W 0,08 °C/W
Höchstzul. Sperrsichttemperatur	max. junction temperature		$t_{vj\ max}$		150°C
Betriebstemperatur	operating temperature		t_{cop}		-40°C...+150°C
Lagertemperatur	storage temperature		t_{stg}		-40°C...+150°C

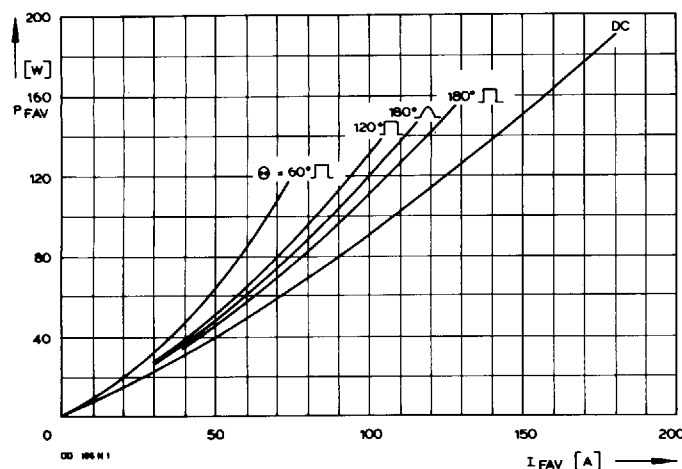
Mechanische Eigenschaften**Mechanical properties**

Si-Elemente mit Druckkontakt	Si-pellets with pressure contact				
Innere Isolation	internal insulation				AlN
Anzugsdrehmomente	tightening torques				
mechanische Befestigung	mounting torque	Toleranz/tolerance $\pm 15\%$	M1	4 Nm	
elektrische Anschlüsse	terminal connection torque	Toleranz/tolerance $+5\%/-10\%$	M2	4 Nm	
Gewicht	weight		G	typ. 250 g	
Kriechstrecke	creepage distance				15 mm
Schwingfestigkeit	vibration resistance	f = 50 Hz		5 · 9,81 m/s ²	
Maßbild	outline				5

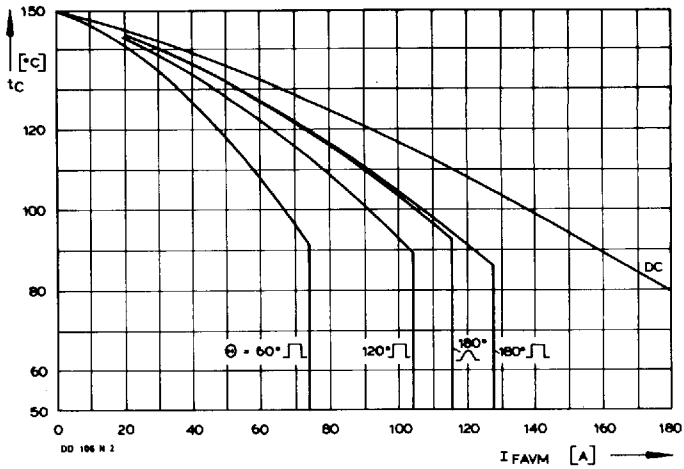
Diese Module können auch mit gemeinsamer Anode oder gemeinsamer Kathode geliefert werden.
 These modules can also be supplied with common anode or common cathode.

Recognized by UNDERWRITERS LABORATORIES INC.

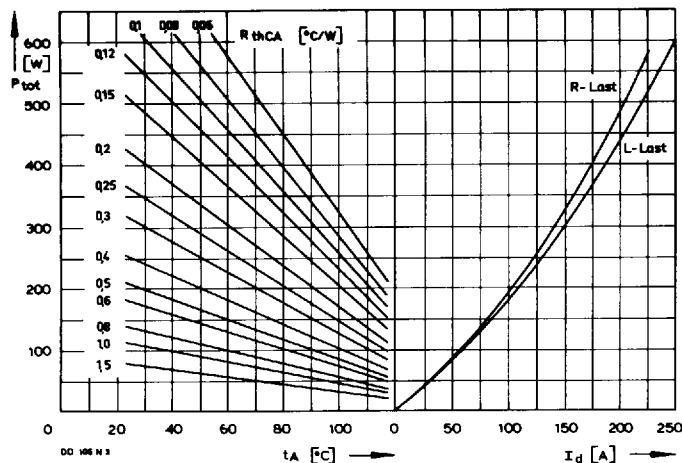
DD 106 N



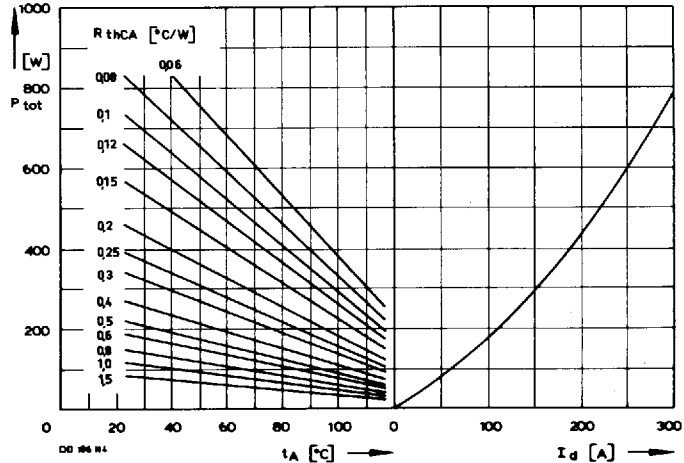
Bild/Fig. 1
Durchlaßverlustleistung P_{FAV} eines Zweiges
Forward power loss P_{FAV} per arm



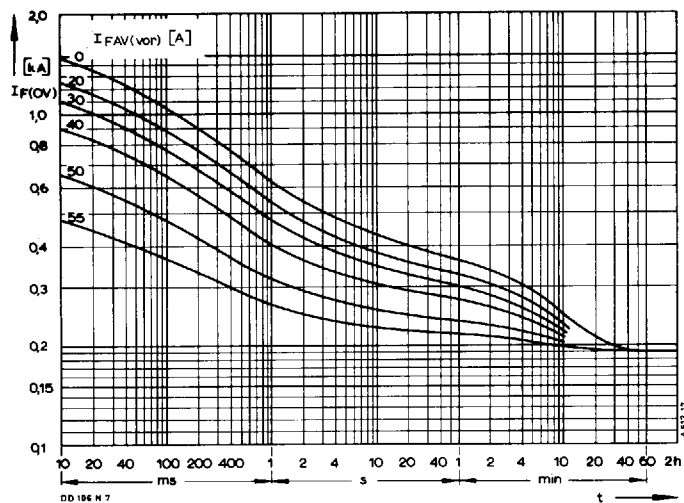
Bild/Fig. 2
Höchstzulässige Gehäusetemperatur t_C in Abhängigkeit vom Zweigstrom
Maximum allowable case temperature t_C versus current per arm



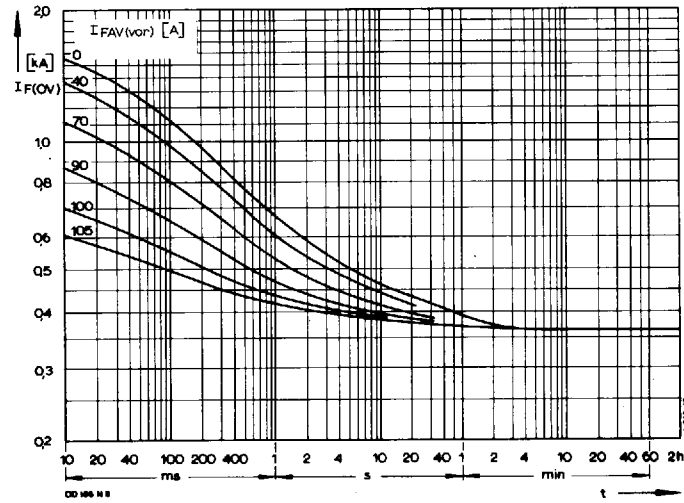
Bild/Fig. 3
B2 – Zweipuls-Brückenschaltung
Höchstzulässiger Ausgangsstrom I_d in Abhängigkeit von der Umgebungs-
temperatur t_A .
B2 – Two-pulse bridge circuit
Maximum allowable output current I_d versus ambient temperature t_A .
Parameter: Wärmewiderstand zwischen Powerblock und Umgebung/
thermal resistance case to ambient R_{thCA}



Bild/Fig. 4
B6 – Sechspuls-Brückenschaltung
Höchstzulässiger Ausgangsstrom I_d in Abhängigkeit von der Umgebungs-
temperatur t_A .
B6 – Six-pulse bridge circuit
Maximum allowable output current I_d versus ambient temperature t_A .
Parameter: Wärmewiderstand zwischen Powerblock und Umgebung/
thermal resistance case to ambient R_{thCA}

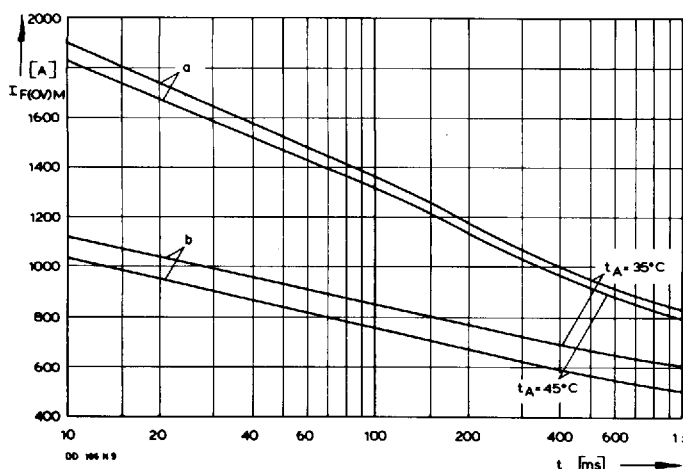


Bild/Fig. 5
B2 – Zweipuls-Brückenschaltung/Two-pulse bridge circuit
Überstrom je Zweig $I_{F(OV)}$ bei Luftselbstkühlung, $t_A = 45^\circ\text{C}$, Kühlkörper KP0,33S.
Overload on-state current per arm $I_{F(OV)}$ at natural cooling, $t_A = 45^\circ\text{C}$,
heat sink type KP0.33S.
Parameter: Vorlaststrom je Zweig/pre-load current per arm $I_{FAU(vor)}$



Bild/Fig. 6
B2 – Zweipuls-Brückenschaltung/Two-pulse bridge circuit
Überstrom je Zweig $I_{F(OV)}$ bei verstärkter Luftkühlung, $t_A = 35^\circ\text{C}$,
Kühlkörper KP0,33S.
Overload on-state current per arm $I_{F(OV)}$ at forced cooling, $t_A = 35^\circ\text{C}$,
heat sink type KP0.33S.
Parameter: Vorlaststrom je Zweig/pre-load current per arm $I_{FAU(vor)}$

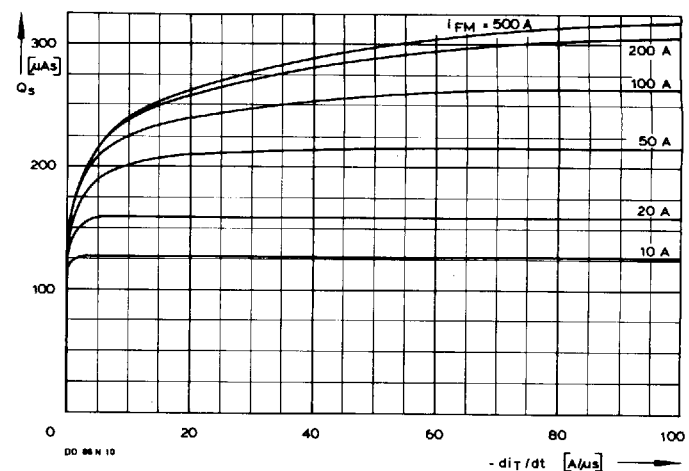
DD 106 N



Bild/Fig. 7

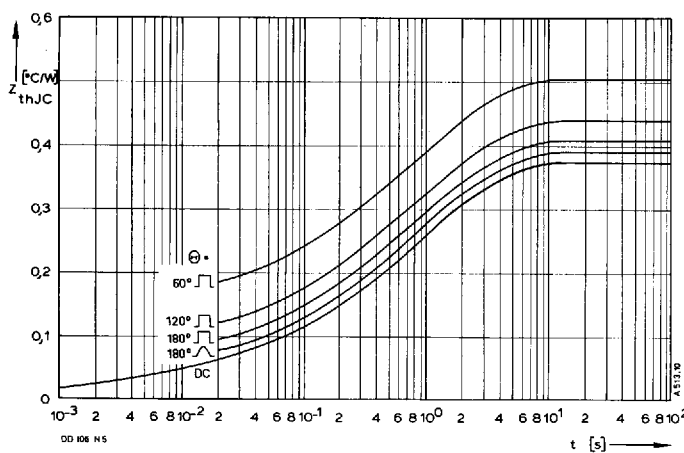
Grenzstrom je Zweig $I_{F(OVM)}$ bei Luftselbstkühlung, $t_A = 45^\circ\text{C}$ und verstärkter Luftkühlung, $t_A = 35^\circ\text{C}$, Kühlkörper KP 0,33 S, $V_{RMM} = 0,8 V_{RRM}$.
Limiting overload on-state current per arm $I_{F(OVM)}$ at natural ($t_A = 45^\circ\text{C}$) and forced ($t_A = 35^\circ\text{C}$) cooling, heatsink type KP 0,33 S, $V_{RMM} = 0,8 V_{RRM}$.
a – Belastung nach Leerlauf/current surge under no-load conditions
b – Belastung nach Betrieb mit Dauergrenzstrom I_{FAVM}

Current surge occurs during operation at limiting mean on-state current rating I_{FAVM}



Bild/Fig. 8

Nachlaufladung Q_S in Abhängigkeit von der abkommunizierenden Stromsteilheit $-di_F/dt$ bei $t_{vj,max}$.
Lag charge Q_S versus the rate of decay of the on-state current $-di_F/dt$ at $t_{vj,max}$.



Bild/Fig. 9

Transienter innerer Wärmewiderstand je Zweig $Z_{(th)JC}$.
Transient thermal impedance, junction to case, per arm $Z_{(th)JC}$.

Pos. n	1	2	3	4
R_{thn} [$^\circ\text{C}/\text{W}$]	0,0233	0,0433	0,134	0,17
τ_n [s]	0,00137	0,0175	0,325	2,11

$$Z_{thJC} = \sum_{n=1}^{n_{max}} R_{thn} (1 - e^{-t/\tau_n})$$

Transienter Wärmewiderstand Z_{thJC} pro Zweig für DC.
Transient thermal impedance Z_{thJC} per arm for DC.